

# جایگاه تکتونوماگمایی دیابازها و جریان‌های بازالتی افیولیت شمال مکران، جنوب شرقی ایران

عزیزالله تاجورا، محمدمهردی خطیب<sup>(۱)</sup>\* و محمدحسین زربن کوب<sup>(۲)</sup>

۱. دانشجوی دکتری تکتونیک، گروه زمین‌شناسی، دانشکده علوم، دانشگاه بیرجند

۲. استاد، گروه زمین‌شناسی، دانشکده علوم، دانشگاه بیرجند

تاریخ دریافت: ۹۸/۰۱/۲۵

تاریخ پذیرش: ۹۸/۱۲/۲۸

## چکیده

افیولیت شمال مکران در جنوب شرقی ایران، به عنوان بخشی از افیولیت‌های تیس، در حدفاصل بلوک‌های قاره‌ای لوت و با جکان-دورکان قرار دارد. از جمله سنگ‌های تشکیل‌دهنده این توالي افیولیتی، دیابازها و جریان‌های بازالتی هستند که بیشترین بروزد را در شرق منطقه دارند. شواهد ساختاری، سنگ‌نگاری و زمین‌شیمیایی بیانگر شکل‌گیری این سنگ‌ها در جایگاه‌های زمین‌ساختی متفاوت است. بر اساس ویژگی‌های زمین‌شیمیایی، دیابازها و بازالت‌ها در دو گروه جای می‌گیرند: در یک گروه، دیابازها و جریان‌های بازالتی با ترکیب تولئیتی قرار دارند که ویژگی‌های شبیه به پشت‌های میان‌اقیانوسی (MORB) را به نمایش می‌گذارند. گروه دوم شامل جریان‌های بازالتی تا داسیتی با ترکیب کالک‌آلکالن است که ویژگی‌های کمان‌های آتش‌فشانی را به نمایش گذاشته و نشانه‌های محیط‌های فروزانش در آنها دیده می‌شود. در خداداد مگماتیک منجر به تشکیل این دو گروه از سنگ‌ها شده است: ۱) مگماتیسم نوع MORB حاصل از کشش و بازشدگی بین دو بلوک قاره‌ای که منجر به شکل‌گیری دیابازها و بازالت‌های تولئیتی در کرتاسه پیشین شده است. غنی‌شدگی این سنگ‌ها نسبت به عناصر نادر خاکی سبک (LREE) و مقادیر پایین La/Yb و به نسبت بالای U/Th نمایانگر تاثیر ترکیبات قاره‌ای در مذاب به وجود آورند آنها است. ۲) مگماتیسم مرتبط با فروزانش که گدازه‌های بازالتی، آندزیتی و داسیتی دارای ویژگی‌های کالک‌آلکالن را در کرتاسه پیشین بر جای گذاشته است. غنی‌شدگی LREE و LILE، ناهنجاری منفی Ta و Nb، نسبت بالای Pb/Ce و مقدار تمرکز اندک TiO<sub>2</sub> در این سنگ‌ها، نمایانگر تاثیر ورقه فروزانشی در ترکیب آنها است.

واژه‌های کلیدی: افیولیت شمال مکران، تولئیت، جریان‌های بازالتی، دیاباز، کالک‌آلکالن.

## مقدمه

مجموعه‌های افیولیتی به عنوان بقایای پوسته اقیانوسی تعبیر می‌شوند که پس از زوال، بر روی لبه قاره‌ها فرارانده شده‌اند (Dewey and Bird, 1971). این‌ها معرف قطعاتی از سنگ‌کره اقیانوسی هستند که از زمان تشکیل تا فرارانده شدن، سرنوشت زمین‌ساختی، مگماتی و پسامگماتی متفاوت را تجربه کرده‌اند (Cawood, 1989; Nicolas, 1989).<sup>\*</sup> نویسنده مرتبط: mkhatab@birjand.ac.ir

اگرچه پژوهشگران علوم زمین هر کدام به گونه‌ای در مطالعه رخدادهای منطقه مکران سهیم بوده‌اند، با این وجود، تابه‌حال پژوهشی در مورد جایگاه زمین‌ساختی و تکامل ماگمایی افیولیت شمال مکران با تمرکز بر واحدهای خروجی این توالی افیولیتی صورت نپذیرفته است. بنابراین در پژوهش پیش رو، با انتخاب دایک‌های دیبازاری، دیبازارها و جریان‌های بازالتی این توالی افیولیتی و با استفاده از مشاهدات صحرابی، شواهد ساختاری، مطالعات سنگنگاری و داده‌های آزمایشگاهی به ارزیابی جایگاه زمین‌ساختی و تکامل ماگمایی افیولیت شمال مکران پرداخته شده است.

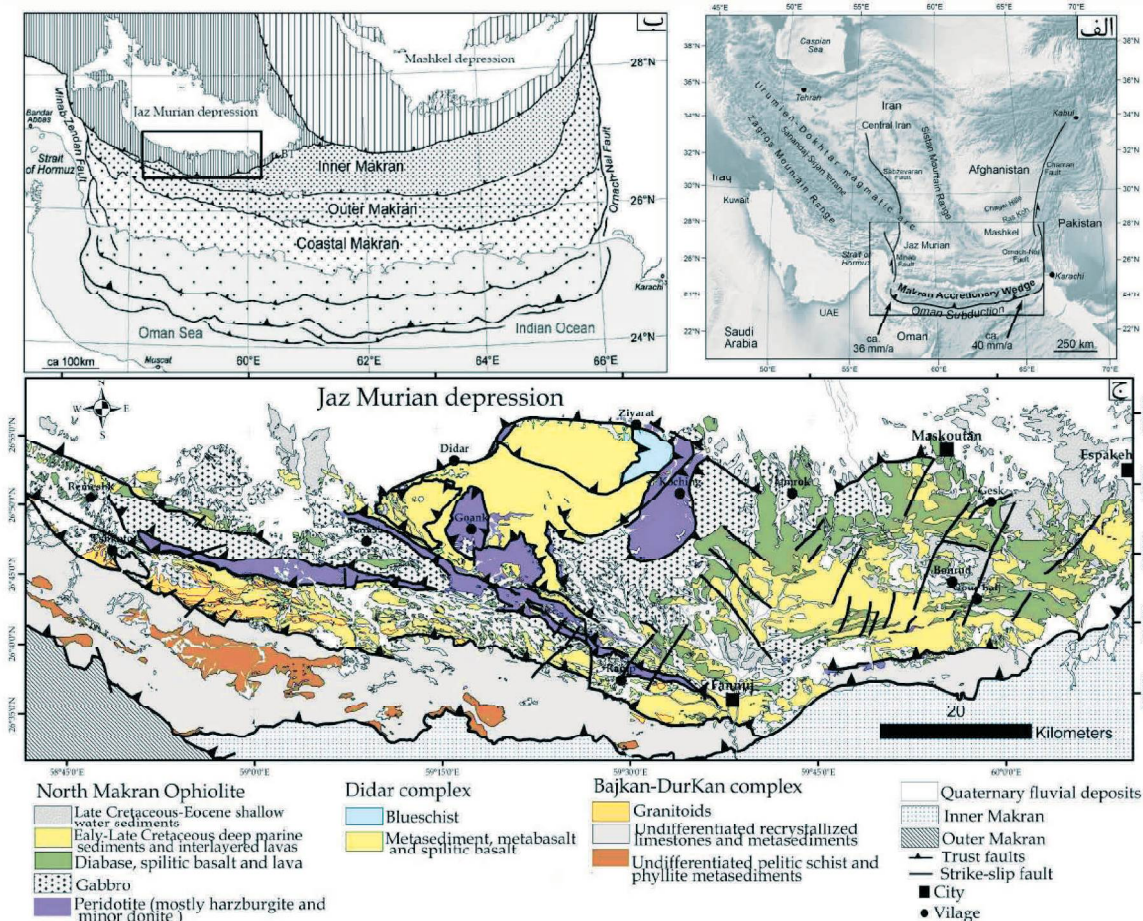
## جایگاه زمین‌ساختی و روابط صحرابی

مجموعه افیولیت‌های مکران در شمال منشور برافرازیشی مکران قرار دارند (شکل ۱-الف، ب). منشور برافرازیشی مکران از چهار واحد تکتونواستراتیگرافی اصلی تشکیل شده که به‌وسیله راندگی‌های بزرگ از هم جدا می‌شوند (شکل ۱-ب)؛ این واحدها از جنوب به شمال عبارتند از: مکران ساحلی، مکران بیرونی، مکرانی درونی و مکران شمالی مطالعه در این پژوهش، افیولیت شمال مکران واقع در مکران شمالی است (شکل ۱-الف و ب). مکران شمالی با روند شرقی-غربی تا شمال‌غرب-جنوب‌شرق از شمال به‌وسیله فروافتادگی جازموریان محدود شده، از سمت جنوب به‌وسیله گسل راندگی بشاغرد از مکران درونی جدا می‌شود، در سمت شرق، بروند سنگ‌های تشکیل دهنده افیولیت شمال مکران رفتارهای فلیشی با روند شمالی-جنوبی شرق تدریجی به نهشته‌های فلیشی با روند شمالی-جنوبی شرق ایران می‌پیوندد (McCall et al., 1985) و در سمت غرب- شمال‌غرب نیز این مجموعه افیولیتی با نهشته‌های کواترتر پوشیده شده و در ادامه با افیولیت‌های کهنه‌ج در ارتباط است. این منطقه حاوی قدیمی‌ترین سنگ‌های منطقه مکران بوده و از سه واحد تکتونواستراتیگرافی اصلی تشکیل شده است (Dolati, 2010) (شکل ۱-ج): ۱) مجموعه دگرگونی دیدار شامل جریان‌های بازالتی، گدازه‌های بالشی، سیلت، مادستون و رسوباتی که متحمل دگرگونی درجه پایین تا خیلی

برای تشخیص جایگاه زمین‌ساختی آنها اهمیت ویژه‌ای دارد (Donnelly et al., 2004). از این‌رو، در سال‌های اخیر پژوهشگران مختلف برای تعیین تاریخچه‌ی تحولی افیولیت‌ها و تشخیص محیط شکل‌گیری آنها، بررسی‌های خود را روی Saccani et al., (2001; Bagci et al., 2008; Slovenec et al., 2011 Akizawa et al., 2012; Osozawa et al., 2012; MacLeod et al., 2013). از جمله مناطقی که در آن بقایای ناشی از بسته شدن یک حوضه اقیانوسی به‌خوبی حفظ شده و توالی به نسبت کاملی از سنگ‌کره اقیانوسی را در خود جای داده است، افیولیت شمال مکران در جنوب شرقی ایران است. این توالی افیولیتی ادامه کمریندی است که از شرق اروپا آغاز شده و در سرتاسر منطقه مدیترانه، آسیای میانه و شرق آسیا گسترش دارند و به افیولیت‌های نوع تیسی معروف هستند Moghadam and Stern, 2011; Dilek and Furnes, (2014). اندک مطالعات صورت گرفته بر روی افیولیت شمال مکران به‌وسیله سازمان زمین‌شناسی و اکتشافات معدنی ایران بوده که منجر به تهیه نقشه‌های زمین‌شناسی با مقیاس  $1/25000$  و  $1/100000$  شده است (Eftekhar et al., 1979; McCall et al., 1985). مطالعات اخیر در این منطقه بر روی شرایط تشکیل لاوسونیت‌ها در مجموعه سنگ‌های دگرگونی (Hunziker et al., 2017) و مطالعه زمین‌شیمی پریدوتیت‌های افیولیت شمال مکران (Moslempour et al., 2017) انجام می‌گیرد. برخی پژوهشگران (Stöcklin (1968), McCall et al., 1985) براین باورند افیولیت و (Berberian and King (1981) شمال مکران در یک حوضه کششی بین خردۀ قاره ایران مرکزی در سمت شمال و مجموعه باجکان-دورکان در جنوب تشکیل شده است. به باور برخی دیگر از پژوهشگران Farhoudi and McCall (1997), Sengör (1990) و Karig (1997)، افیولیت شمال مکران در حوضه پشت کمان ماگمایی در یک حاشیه قاره‌ای پر تکاپو شکل می‌گیرد.

۲) افیولیت شمال مکران، یک توالی کامل افیولیتی شامل توده‌های الترامافیک که چندین توده نفوذی مافیک در آنها نفوذ کرده و کل این مجموعه بهوسیله گدازه‌های آتشفسانی McCall et al., 1985) و نهشته‌های ژرف دریایی پوشیده می‌شوند (, ۳) مجموعه با جکان-دورکان که در بخش شمالی از سنگ‌های آذرین درونی حد واسط تا اسیدی تشکیل شده و در بخش جنوبی آن بیشتر سنگ‌آهک‌های تجدید تبلور یافته به همراه واحدهای دگرگونی تفكیک نشده حضور دارند.

پایین شده و عدسی‌هایی از شیست آبی در آن دیده می‌شود (1979) Eftekhar-Nezhadetal.,..(McCalletal., 1985) Dolati (2010) بر اساس مجموعه فسیلی سن این سنگ‌ها را کرتاسه پسین برآورد کرده‌اند. (2017) Hunziker et al., شرایط دما و فشار شیستهای آبی این مجموعه را مطالعه کرده و براین باورند لاوسونیت‌های موجود در این سنگ‌ها در یک دگرگونی پسروندۀ در شرایط دمایی بین ۳۰۰ تا ۳۵۰ درجه سانتی‌گراد و فشار ۹ تا ۱۴ کیلوبار تشکیل شده‌اند،



شکل ۱. (الف) تصویر ماهواره‌ای ایران و منطقه مکران که موقعیت منشور برافرازی مکران در آن آشکار است، میزان همگرایی ورقه‌ی عربی و اوراسیا بر اساس (2010) DeMets et al., آورده شده است، (ب) نقشه ساده منشور برافرازی مکران (Haghipour et al., 2012) در الف و ب منطقه مورد مطالعه بهوسیله چهارگوش نشان داده شده است، (ج) نقشه زمین‌شناسی افیولیت شمال مکران (برگرفته و تصحیح شده از نقشه‌های ۱:۱۰۰۰۰۰۰ زمین‌شناسی اسپکه (Arshadi et al., 1987)، فنوج (Aghanabati et al., 1987a)، رامک (Morgan et al., 1987a)، فنوج (Morgan et al., 1987b) و مشک (Morgan et al., 1987b))

و ۳) پوسته بالایی که شامل دیابازها و دایک‌های دیابازی، بازلات‌های بالشی، غیربالشی و اسپیلیتی، گدازه‌های آتشفسانی به همراه پوشش رسوبی آنها است. روند عمومی ساختارها و واحدهای سنگی منطقه WNW-ESE است

به طور کلی افیولیت شمال مکران را می‌توان به سه بخش تقسیم‌بندی کرد: ۱) سنگ‌های الترامافیک گوشه‌ای بالایی شامل هارزبورزیت، دونیت و اندکی لرزولیت، ۲) پوسته زیرین که از گلبروهای لایه‌ای و ایزوتربوپ تشکیل شده است،

یکپارچه افیولیت شمال مکران تهیه شد (شکل ۱-ج). پس از نمونه‌برداری، تعداد ۳۰ مقطع نازک میکروسکوپی از دیبازارها و بازالت‌های منطقه تهیه و مورد مطالعه دقیق سنگ‌نگاری قرار گرفت. پس از مطالعات سنگ‌نگاری، تعداد پنج نمونه دیبازار و هفت نمونه بازالت که دارای کمترین میزان دگرسانی بودند، برای تجزیه شیمیایی عناصر اصلی، عناصر جزئی و عناصر نادر خاکی انتخاب شد. تجزیه شیمیایی عناصر اصلی به روش XRF و عناصر جزئی و نادر خاکی به روش ICP-MS در شرکت مطالعات مواد معدنی زرآما صورت گرفته است. بررسی و پردازش داده‌های زمین‌شیمیایی با استفاده از نرم‌افزارهای Minpet، Igpet، GCDKit و Minpet انجام شده است.

### بحث سنگ‌نگاری دیبازارها

دیبازارها به عنوان پایین‌ترین بخش پوسته بالایی در افیولیت شمال مکران شناخته می‌شوند. این سنگ‌ها که ویژگی سنگ‌های نیمه‌آتشفسانی را به نمایش گذاشتند، بر روی گابروهای ایزوتربوب قرار گرفته و به‌وسیله گدازه‌های آتشفسانی، جریان‌های بازالتی و یا نهشته‌های پلاژیک پوشیده می‌شوند (شکل ۲-الف). همچنین میان لایه‌های رادیولاریتی و شیل‌های ارغوانی در برخی مناطق همراه دیبازارها دیده می‌شوند. این نهشته‌ها نمایانگر ژرفای به نسبت زیاد حوضه اقیانوسی در هنگام تنشیست آنها بوده و سن آنها کرتاسه پیشین است (Dolati, 2010). افزون بر شکل نیمه‌نفوذی دیبازارها، آنها به صورت دسته دایک‌هایی در واحدهای رسوبی و گدازه‌های آتشفسانی افیولیت شمال مکران نفوذ کردند (شکل ۲-الف). این دسته دایک‌ها روند NW-SE تا E-W داشته و سترای آنها از چند سانتی‌متر تا پیرامون ۱۰ متر اندازه‌گیری شده است. دایک‌های دیبازاری و دیبازارها بیشترین بروزند را در شرق افیولیت شمال مکران بین فنوج، اسپکه و جامرغ دارند (شکل ۱-ج). در این منطقه سترای بسیار زیادی از دیبازارها به همراه گدازه‌های آتشفسانی و بازالت‌های اسپلیتی به صورت درهم‌ریخته بروزند دارند. در جنوب جامرغ سترای بیش از ۲۰۰ متری از این سنگ‌ها وجود دارد. در این

(شکل ۱-ج). بیشترین ساختارهای موجود در افیولیت شمال مکران گسل‌های راندگی با روند WNW-ESE و NNE-SSW شیب به سمت NNE هستند که در نتیجه عملکرد آنها، واحدهای سنگی در جهت SSW رانده شده‌اند. شیب بیشتر گسل‌های راندگی اندازه‌گیری شده در این منطقه بین ۲۰ تا ۳۵ درجه بوده و مرز اغلب واحدهای سنگی به‌وسیله این گسل‌ها آشکار شده است (شکل ۱-ج). به‌گونه‌ای که واحدهای دگرگونی مجموعه دیدار بر روی افیولیت‌ها رانده شده و مجموعه افیولیتی نیز به نوبه خود با جابه‌جایی در جهت SSW در امتداد گسل راندگی درانار بر روی واحدهای رسوبی و گرانیتوئیدی مجموعه با جکان-دورکان رانده شده است. در جنوبی‌ترین بخش‌های منطقه نیز در امتداد گسل بزرگ بشاغرد کل این مجموعه در حال رانده شدن بر روی منشور برافراشی مکران (مکران درونی) می‌باشد (شکل ۱-ب و ج). عملکرد گسل‌های راستالغز بیشتر در شرق منطقه مورد مطالعه دیده می‌شود. گسل‌های راستالغز چپ‌گرد با روند چیره S-SNW تا NNE در شرقی‌ترین بخش‌های افیولیت شمال مکران پیدید آمده‌اند (شکل ۱-ج). ارتباط واحدهای سنگی با یکدیگر و نحوه عملکرد و جابه‌جایی این گسل‌ها نشان می‌دهد از گسل‌های راندگی در منطقه جوان‌تر هستند. گسل‌های راستالغز راست‌گرد حضور چندانی در منطقه نداشته و تنها شاهد عملکرد تعداد اندکی از آنها با روند NW-SE در شمال و شمال‌شرق فنوج هستیم (شکل ۱-ج). چندین نسل از دایک‌های مختلف نیز در مجموعه افیولیت ملانز شمال مکران حضور دارند. اندازه‌گیری شیب و امتداد این دایک‌ها نشان می‌دهد روند عمومی آنها E-W تا WNW-ESE بوده و شیب آنها نزدیک به قائم است.

### روش مطالعه

در طی عملیات صحراجی در منطقه مورد مطالعه، واحدهای سنگی مختلف شناسایی و از آنها نمونه‌برداری انجام گرفت. عناصر ساختاری (مانند انواع گسل‌ها، چین‌خوردگی، دایک‌ها و سایر روندهای ساختاری) و ویژگی‌های هندسی-جنیشی مربوط به هر کدام از آنها برداشت شد. نقشه‌های زمین‌شناسی ۱:۱۰۰۰۰ (شامل اسپکه، فنوج، رامک و رمشک) با یکدیگر تلفیق و پس از تصحیح، نقشه زمین‌شناسی

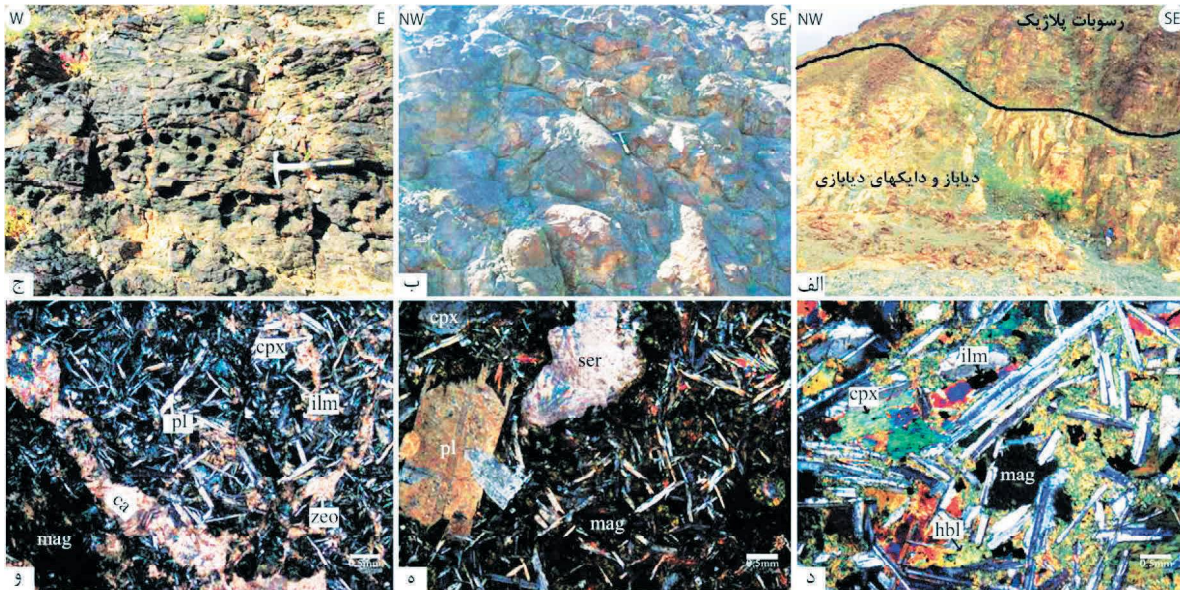
بیشتر سیاه رنگ بوده و به همراه دیابازها بیشترین بروزند را در شرق منطقه دارا هستند، هر چند بروزنهای کوچکی از این سنگ‌ها در غرب منطقه و در شرق رمشک نیز وجود دارند. جریان‌های بازالتی دارای آنکلاوهای کوچکی از دیاباز و در برخی نقاط سنگ‌آهک‌های تجدید تبلور یافته هستند. در سطح بالابی جریان‌های بازالتی، گدازه‌های بالشی وجود دارند که خود به وسیله سنگ‌آهک‌های تجدید تبلور یافته پوشیده می‌شوند. در بسیاری از نقاط جریان‌های بازالتی و دیابازها به صورت درهم‌ریخته همراه با نهشت‌های ژرف دریابی به سن کرتاسه پیشین دیده می‌شوند (Dolati, 2010, McCall et al., 1985). بازالت‌ها دارای حفره‌هایی هستند که درنتیجه انحلال حاصل شده و به وسیله کلسیت پر شده است (شکل ۲-ج). در برخی نقاط جریان‌های بازالتی به صورت پیوسته دیابازها و گابروها و در اندر نقاطی هارزبورزیت‌ها را می‌پوشانند. براین اساس و ارتباط این واحدها با یکدیگر نشان می‌دهد، در بیشتر بخش‌های منطقه مورد مطالعه جریان‌های بازالتی و بازالت‌های بالشی جوان‌ترین واحد آذین افیولیت شمال مکران محسوب می‌شوند. در مقاطع نازک، پلاژیوکلاز (۶۰-۷۰٪)، کلینوپیروکسن (۲۰-۳۰٪) و کانی‌های اوپیک (مگنتیت و ایلمینیت) (۱۰-۲۰٪) سازندگان اصلی بازالت‌ها به شمار می‌روند (شکل ۲-ه). کانی‌های حاصل از دگرسانی شامل اکتینولیت، کلریت و کلسیت نیز در بیشتر مقاطع یافت می‌شوند. درشت‌بلورهای (پنج تا هشت میلی‌متر) نیمه‌شکل دار پلاژیوکلاز ماکل دوقلویی به نمایش می‌گذارند (شکل ۲-ه). هر چند به دلیل فرایند اسپیلیتی شدن، این درشت‌بلورها به همراه میکرولیت‌های پلاژیوکلاز به آلبیت و سریسیت تجزیه شده‌اند (شکل ۲-ه). رگه‌های کوارتز و کلسیت و حفره‌های پرشده از زئولیت، پرهنیت و کلسیت نیز در برخی مقاطع دیده می‌شوند (شکل ۲-و). بافت چیره در بازالت‌ها، افیتیک و ساب افیتیک بوده و نسبت به دیابازها دانه‌ریزتر هستند که در برخی مقاطع به پورفیری نزدیک می‌شود (شکل ۲-ه). گدازه‌های بالشی بیشتر دارای بافت افريک هستند، باين حال، درشت‌بلورهای پلاژیوکلاز نیز حضور دارند. در اين سنگ‌ها، پلاژیوکلازهای دانه‌ریز (2mm) زمينه را تشکيل می‌دهند. افزون بر پلاژیوکلاز، منطقه، دايک‌های دیابازی به صورت ورقه‌ای در زير بازالت‌ها قرار می‌گيرند، در صورتی که در ساير مناطق دیابازها به صورت توده‌های نيمه‌آتشفسانی بروزند دارند. همچنان بروزنهای از دیاباز در غرب منطقه در دو طرف نوار اولتراامافيك فنوج رمشک دیده می‌شود (شکل ۱-ج). در اين منطقه دايک‌های دیابازی با سمتبرای پنج تا ۱۰ متر به صورت نفوذی‌های نيمه‌آتشفسانی به درون گابروها نفوذ كرده‌اند. در مرز تماس بين گابروها و دیابازها، بلورهای درشت پلاژیوکلاز دیده می‌شوند که به سمت دیابازها اندازه آنها به تدریج کاهش پیدا می‌کند. اين دايک‌ها سرانجام به وسیله گدازه‌های آتشفسانی و بازالت‌ها پوشیده می‌شوند. مرز بين دیابازها و بازالت‌ها به دليل در هم تنيدگي آنها در اغلب موارد نامشخص و غيرقابل تشخيص است. در مقاطع نازک، دیابازها حاوي درشت بلورهای پلاژیوکلاز (۴۰-۵۰٪) به اندازه نزديك به پنج ميلی‌متر در زمينه‌های از کانی‌های دانه‌ریز هستند (شکل ۲-د). بلورهای کلينوپيروكسن (۳۰-۴۰٪) نيز جزو کانی‌های اصلی تشکيل دهنده دیابازها محسوب می‌شوند. افزون بر اين‌ها، ايلمييت و مكينيت (۳-۵٪) مهم‌ترین کانی‌های اوپیک در اين سنگ‌ها هستند. بافت چيره در دیابازها از نوع افیتیک است، هر چند بافت‌های پوئی کلیتیک و اینترسرتال نیز معمول هستند (شکل ۲-د). دگرسانی در دیابازها معمول بوده و درنتیجه آن آمفیبول جانشین کلينوپيروكسن شده و پلاژیوکلاز به وسیله کلریت و اپیدوت جایگزین شده است. برخی پلاژیوکلازها نیز به سریسیت تجزیه شده‌اند.

## بازالت‌ها

گدازه‌های بازالتی در افیولیت شمال مکران به دو صورت جریان‌های بازالتی اسپیلیتی شده و گدازه‌های بازالتی وجود دارند، هر چند بازالت‌های بالشی نیز در منطقه حضور دارند (شکل ۲-ب). جریان‌های بازالتی اسپیلیتی شده فراوان‌ترین نوع گدازه در منطقه به شمار می‌رود و در بيشتر نقاط به صورت ميان لایه و یا لایه‌های کم سمترا در بين سنگ‌آهک‌های پلاژیک، چرت‌ها و رادیولاریت‌ها دیده می‌شوند که چهار تبلور دوباره نیز شده‌اند. اين نهشت‌ها نمایانگر ژرفای تشکيل بيش از ۲۰۰ متربرروي پوسته اقيانوسی هستند. جریان‌های بازالتی،

کلسیت پر شده است. این بلورهای دگرسان شده، همواره بی‌شکل تا نیمه‌شکل دار هستند.

بلورهای کوچک کلینوپیروکسن، مگنتیت و شیشه‌های تبلور یافته بهوفور در زمینه دیده می‌شوند (شکل ۲-و). در برخی نمونه‌ها کلینوپیروکسن به طور کامل دگرسان شده و بهوسیله



شکل ۲. تصاویر صحرایی و میکروسکوپی دیابازها و بازالت‌های افیولیت شمال مکران، (الف) دایک‌های دیابازی و دیابازها بهوسیله نهشته‌های پلازیک کرتاسه پیشین پوشیده شده‌اند، (ب) تصویر بازالت‌های بالشی، (ج) حفره‌های انحلالی شکل گرفته در بازالت‌ها، (د) تصویر میکروسکوپی دیابازهای مکران، درشت بلورهای پلازیوکلаз در زمینه‌ای از کانی‌های دانه‌ریز مشهود است، (ه) درشت بلورهای پلازیوکلاز به همراه سریسیت در بازالت‌های مکران، و (رگه‌های ثانویه کلسیت به همراه زئولیت در بازالت‌های مکران. تصاویر میکروسکوپی در نور منقطع (XPL) گرفته شده‌اند. (نشانه‌های اختصاری برگرفته شده از Withney and Evans (2010) عبارتند از: پلازیوکلاز (pl)، هورنبلند (hbl)، کلینوپیروکسن (cpx)، مگنتیت (mag)، ایلمینیت (ilm)، سریسیت (ser)، زئولیت (zeo) و کلسیت (ca))

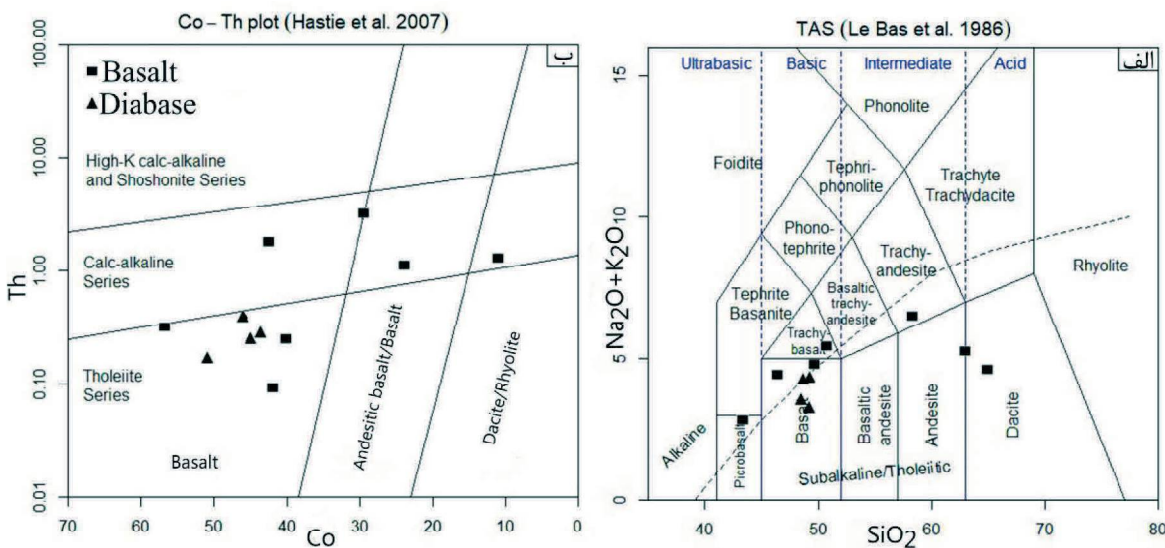
## زمین‌شیمی

مکران در گستره سری تولئیتی و تعدادی دیگر از بازالت‌های مورد مطالعه در گستره سری آکالن قرار می‌گیرد. برای تفکیک بهتر نمونه‌های مورد مطالعه، از نمودار عناصر جزئی (Hastie et al., 2007) نیز استفاده شده است (شکل ۳-ب). در این نمودار که بر اساس  $\text{Th}$  در مقابل  $\text{Co}$  رسم شده، نمونه‌های مورد مطالعه به دو گروه سری تولئیتی و کالک‌آکالن تفکیک شده‌اند. همان‌طور که در نمودار نیز نشان داده شده است، تمامی نمونه‌های دیاباز و تعدادی از نمونه‌های بازالت در گستره سری تولئیتی جای می‌گیرد، ولی نمونه‌های بازالتی که در نمودار مجموع آکالی-سیلیس (TAS) (بالاترا خطر تقسیم تولئیتی و آکالن و در گستره آکالن جانمایی شده بودند، ترکیب کالک‌آکالن نشان می‌دهند.

نتایج حاصل از تجزیه شیمیایی دیابازها و بازالت‌های مورد مطالعه در جدول ۱ آورده شده است. برای رده‌بندی نمونه‌های دیاباز و بازالت مورد مطالعه از نمودار مجموع آکالی-سیلیس (Le Bas et al., 1986) (TAS) استفاده شده است. با توجه به این نمودار، ترکیب سنگ‌شناسی دیابازهای مورد مطالعه در گستره بازالتی قرار می‌گیرد (شکل ۳-الف). اما در مورد گدازه‌های بازالتی مکران دو ترکیب متفاوت را می‌توان تشخیص داد، به‌طوری‌که ترکیب برخی از نمونه‌ها در گستره بازالت گرفته، گروه دیگر دارای ترکیب آندزیت-بازالت، آندزیت و داسیت هستند. افزون بر این، در این نمودار می‌توان قلمروهای تولئیتی (یا ساب‌آکالن) و آکالن را از یکدیگر جدا کرد. همان‌طور که در این نمودار آشکار است، دیابازها و تعدادی از بازالت‌های

جدول ۱. نتایج تجزیه شیمیایی دیابازها و گدازهای بازالتی افیولیت شمال مکران، تجزیه اکسید عناصر اصلی به روش XRF بوده و بر حسب درصد، و بقیه عناصر به روش ICP-MS ppm آورده شده است

Oxide/Rock type	دیاباز					بازالت						
SiO <sub>2</sub>	۴۹/۰۴	۴۷/۹۱	۴۷/۰۲	۴۸/۱۲	۵۸/۱۳	۵۸/۲۸	۴۵/۰۳	۶۱/۰۶	۴۹/۲۱	۴۰/۷۲	۴۳/۷	
TiO <sub>2</sub>	۱/۴۷	۱/۴۹	۱/۶۷	۲/۲	۱/۰۳	۰/۰۱	۰/۷۶	۱/۰۴	۲/۰۲	۱/۲۳	۱/۶۳	
Al <sub>2</sub> O <sub>3</sub>	۱۵/۶۵	۱۵/۰۳	۱۵/۱۹	۱۴/۲۲	۱۱/۲۵	۱/۰۱۲	۱۴/۲۲	۱/۰۲۷	۱۴/۰۸	۱۶/۳۸	۱۵/۰۱	
FeOt	۱۱/۱۲	۱۲/۱۴	۱۱/۰۳	۱۳/۱۴	۹/۹۷	۴/۰۹	۶/۹۷	۶/۷۱	۹/۷۱	۱/۰۱۳	۱/۰۵۳	
MnO	۰/۱۶	۰/۱۹	۰/۲	۰/۱۸	۰/۰۳۸	۰/۱۹	۰/۰۲۸	۰/۱	۰/۰۲	۰/۱	۰/۱۱	
MgO	۷/۰۸	۶/۰۵	۷/۰۷	۶/۰۹	۴/۷۱	۲/۰۳۸	۳/۰۷۷	۲/۰۲۶	۵/۰۳	۲/۰۷۹	۳/۰۳۱	
CaO	۱۱/۸۴	۱۰/۰۳۵	۱۱/۱۴	۹/۰۱	۷/۰۲۱	۱۱/۰۳۱	۱۵/۰۱۳	۸/۰۱۲	۱۷/۰۷	۱۹/۴۶	۱۵/۰۶۳	
Na <sub>2</sub> O	۳/۱۶	۳/۰۷۳	۳/۰۹	۳/۰۶	۵/۰۶	۴/۰۷	۳/۰۵۷	۴/۰۳۲	۴/۰۶۳	۲/۰۶	۳/۰۸۱	
K <sub>2</sub> O	۰/۰۹	۰/۰۳۷	۰/۰۲۸	۰/۰۵۵	۰/۰۸۳	۰/۰۱۶	۰/۰۷۶	۰/۰۲	۰/۰۸۸	۰/۰۲	۰/۰۳۴	
P <sub>2</sub> O <sub>5</sub>	۰/۱۸	۰/۰۱۷	۰/۰۱۹	۰/۰۲۲	۰/۰۲۹	۰/۰۰۸	۰/۰۱۷	۰/۰۲۵	۰/۰۲۲	۰/۰۲۲	۰/۰۲۲	
Cr <sub>2</sub> O <sub>3</sub>	۰/۰۴	۰/۰۲	۰/۰۳	۰/۰۲	۰/۰۱	۰	۰/۰۱	۰	۰/۰۱	۰/۰۴	۰/۰۶	
NiO	۰/۰۱	۰/۰۱	۰/۰۱	۰/۰۱	۰/۰۱	۰/۰۱	۰	۰	۰/۰۱	۰/۰۱	۰/۰۴	
LOI	۰/۰۷۹	۱/۰۵۲	۲/۰۳۴	۲/۰۴۹	۰/۰۸۵	۷/۰۵۳	۹/۰۶۳	۶/۰۱۵	۳/۰۷۱	۶/۰۵۱	۶/۰۸	
TOTAL	۱۰۰/۶	۹۹/۹۸	۱۰۰/۲	۱۰۰	۱۰۰/۲	۹۹/۸۶	۱۰۰/۳	۱۰۰/۳	۱۰۰/۶	۱۰۰/۲	۱۰۰/۴	
XMg	۰/۰۳۳	۰/۰۲۹	۰/۰۳۲	۰/۰۲۷	۰/۰۱۸	۰/۰۲۰	۰/۰۲۹	۰/۰۳۰	۰/۰۲۷	۰/۰۲۹	۰/۰۲۱	
Sc	۳/۰۳۹	۳/۶۹	۴/۷۰	۳/۹۷۳	۴/۹۱۴	۱۰/۰۷۲	۲/۱/۴	۱۳/۰۲۹	۴۳/۰۳۴	۴/۱/۶۱	۲/۸/۱۳	
Ti	۹۴/۴۱	۹/۰۲۰	۱۰۰/۱۴	۱۲۷/۴۰	۱۳۱/۱۷	۱۴۷/۴۱	۴۵/۰۵۶	۱۰/۲۸۲	۱۱۶/۰۱	۷۳/۷۱	۹۷/۷۰	
Ni	۱۰/۰/۱	۹/۳/۲	۸/۶/۲	۶/۰/۱	۱۰/۰/۱۲	۶/۰/۷	۸/۰/۲	۸/۶	۸/۰	۷/۰/۱۳	۴/۶/۹	
Cr	۲/۸/۱	۲/۰/۷	۲/۰/۵	۱/۲/۴	۸/۰/۱۸	۲/۸/۰/۷	۷/۱	۳/۳	۷/۹/۵	۳/۰/۰	۴/۰/۶	
V	۲۶/۶/۲	۲۴/۸/۶	۲/۶/۵	۳/۳/۸/۴	۲/۰/۱	۱۶/۸/۷	۲/۰/۳/۳	۱۲/۸/۸	۳/۰/۳/۱	۲۹/۶/۱	۲/۴/۹/۷	
Co	۵/۱/۰/۲	۴/۵/۱	۴/۶	۴/۳/۷/۲	۴/۲/۶	۲/۴/۴	۲/۹/۷	۱/۱/۲	۴/۰/۸	۴/۲/۰/۲	۵/۷/۰/۱	
Cu	۷/۰/۲	۷/۱/۲	۷/۰/۶	۱/۲/۳	۲/۱/۲	۴/۴/۶	۶/۰/۱	۲/۸	۴/۰/۳	۱/۰/۱	۸/۲/۷/۹	
Zn	۲/۰/۵	۹/۷/۱	۸/۹/۰/۲	۲/۰/۰/۲	۶/۴/۵	۴/۸/۶	۷/۲/۷	۷/۹/۷/۲	۸/۴/۲/۸	۵/۸/۹/۷	۸/۶/۴	
Cs	۰/۰/۴	۰/۰/۶	۰/۱/۲	۰/۰/۳	۰/۰/۱۶	۰/۰/۱۱	۰/۰/۷	۰/۰/۱۲	۰/۰/۰/۸	۰/۰/۰/۹	۰/۰/۱۱	
Rb	۲/۰/۲/۳	۳/۰/۹	۲/۰/۲	۲/۰/۱	۶/۰/۲۵	۳/۰/۳۵	۱/۰/۳۲	۴/۰/۳۲	۱/۰/۱	۲/۰/۱	۱/۰/۷۶	
Ba	۷/۰	۷/۰/۵/۸	۷/۶/۷	۶/۸/۳/۵	۶/۱/۲	۰/۵/۷/۱	۰/۵/۳/۹	۰/۵/۵/۹	۴/۴/۰/۴	۰/۵/۷/۶	۶/۳/۱/۵	
Th	۰/۰/۱۶	۰/۰/۲۵	۰/۰/۴	۰/۰/۲۷	۱/۰/۸۱	۱/۰/۱۴	۳/۰/۱۹	۱/۰/۴	۰/۰/۲۵	۰/۰/۱	۰/۰/۴	
U	۰/۰/۱۴	۰/۰/۱۹	۰/۰/۴۵	۰/۰/۴۳	۰/۰/۸	۰/۰/۳۵	۱/۰/۲	۰/۰/۵۱	۰/۰/۳۴	۰/۰/۶	۰/۰/۲۲	
Nb	۰/۵/۶/۴	۶/۰/۶/۲	۳/۰/۷/۸	۰/۵/۶/۱	۳/۰/۸/۶	۱/۰/۸/۶	۴/۰/۹/۱	۲/۰/۸/۴	۲/۰/۵/۵	۲/۱/۱	۰/۵/۱/۱	
Ta	۰/۰/۳۱	۰/۰/۳	۰/۰/۲۹	۰/۰/۳۳	۰/۰/۲۲	۰/۰/۱۷	۰/۰/۳	۰/۰/۲۴	۰/۰/۱۹	۰/۰/۲۱	۰/۰/۳۴	
La	۷/۰/۱۶	۸/۰/۷/۸	۵/۰/۹/۷	۹/۰/۶/۲	۱۳/۰/۱۱	۰/۵/۹/۸	۱/۱/۴/۲	۱۵/۰/۱۳	۰/۵/۱/۱	۴/۰/۵/۵	۷/۰/۴/۵	
Ce	۲/۱/۴/۶	۲/۵/۰/۸/۹	۱/۷/۱/۴	۲/۵/۰/۷/۴	۳/۰/۵/۱	۳/۰/۰/۲	۲/۴/۰/۴/۵	۳/۰/۰/۵/۲	۱/۵/۰/۷/۲	۱/۱/۰/۵	۱/۷/۰/۱	
Pb	۰/۰/۱۱	۰/۰/۴۳	۰/۰/۵۲	۰/۰/۱۳	۱/۰/۱۵	۰/۰/۹۵	۳/۰/۰/۴	۱/۰/۳/۹	۲/۰/۹/۸	۲/۰/۱	۲/۰/۷/۳	
Pr	۲/۰/۱۸	۲/۰/۳/۴	۳	۲/۰/۴۱	۴/۰/۲۲	۳/۰/۷	۲/۰/۰/۷	۳/۰/۹	۲/۰/۳/۷	۲/۰/۰/۴	۲/۰/۱/۱	
Sr	۲/۰/۴۵	۲/۹/۶	۲/۸/۱/۵	۲/۲/۲/۳	۳/۰/۱/۱	۳/۷/۶/۰/۱	۲/۰/۳/۷	۲/۹/۶/۳	۱/۰/۰/۸	۱/۰/۰	۱/۱/۲	
Nd	۱/۰/۷	۱/۱/۶/۲	۱/۲/۷/۸	۱/۱/۶/۱	۱/۱/۸/۲	۱/۰/۱/۸	۱/۳/۰/۳/۸	۱/۲/۳/۱	۱/۳/۰/۴/۲	۱/۰/۰/۹	۱/۱/۴/۴	
Zr	۹/۰/۴/۷	۱/۰/۵/۴	۹/۰/۶/۲	۸/۰/۲/۴	۶/۰/۲	۲	۲/۰/۲/۶	۴/۰/۴/۶	۴/۰/۴	۳/۰/۲/۲	۳/۰/۲/۹	
Hf	۲/۰/۱۸	۱/۰/۵/۳	۱/۰/۹/۸	۰/۰/۴/۲	۲/۰/۷	۲/۰/۸	۲/۰/۹/۴	۳/۰/۰/۹	۲/۰/۰/۵	۲/۰/۸/۱	۲/۰/۴	
Sm	۳/۰/۸	۲/۰/۹/۲	۳/۰/۲	۳/۰/۱۴	۴/۰/۶/۵	۴/۰/۱۴	۲/۰/۳/۲	۳/۰/۹	۳/۰/۱۲	۲/۰/۴/۴	۲/۰/۸/۷	
Eu	۱/۰/۲/۷	۱/۰/۴/۲	۱/۰/۴/۲	۱/۰/۴	۱/۰/۵/۱	۱/۰/۵/۷	۰/۰/۸/۵	۱/۰/۳/۶	۱/۰/۵/۵	۱/۰/۴/۶	۱/۰/۲/۴	
Gd	۴/۰/۶/۴	۴/۰/۸/۱	۵/۰/۵/۲	۵/۰/۲/۵	۴/۰/۲/۱	۲/۰/۱/۸	۲/۰/۶	۳/۰/۴/۴	۵/۰/۱/۱	۴/۰/۱	۳/۰/۷	
Tb	۰/۰/۷/۸	۰/۰/۸	۰/۰/۹	۰/۰/۹/۵	۰/۰/۵/۲	۰/۰/۴/۷	۰/۰/۴/۱	۰/۰/۵/۶	۰/۰/۷/۸	۰/۰/۵/۶	۰/۰/۶/۴	
Dy	۰/۰/۳/۵	۰/۰/۵/۳	۰/۰/۶/۱	۰/۰/۹/۲	۲/۰/۶/۲	۲/۰/۰/۲	۲/۰/۹/۶	۳/۰/۵/۱	۶/۰/۰/۴	۴/۰/۲/۴	۳/۰/۷/۹	
Y	۳/۰/۴/۰/۴	۲/۶/۰/۷	۲/۹/۰/۲۹	۳/۴/۰/۷/۲	۳/۸/۰/۱۵	۹/۰/۷/۲	۱۵/۰/۵/۸	۴/۷/۱/۸	۳/۱/۰/۶	۲/۳/۰/۷	۲/۰/۰/۲	
Ho	۰/۰/۶/۷	۱/۰/۱۲	۱/۰/۱	۰/۰/۷/۹	۱/۰/۴/۶	۰/۰/۳/۲	۰/۰/۵/۷	۱/۰/۳/۵	۱/۰/۰/۴	۰/۰/۷/۳	۰/۰/۷/۳	
Er	۳/۰/۰/۳	۳/۰/۰/۷	۳/۰/۱	۳/۰/۸/۰	۱/۰/۳/۹	۱/۰/۰/۲	۱/۰/۶	۱/۰/۱/۲	۳/۰/۴/۸	۲/۰/۶/۹	۲/۰/۳/۱	
Tm	۰/۰/۴/۲	۰/۰/۴/۳	۰/۰/۵/۲	۰/۰/۵	۰/۰/۵/۶	۰/۰/۱/۳	۰/۰/۲/۳	۰/۰/۶/۱	۰/۰/۴/۷	۰/۰/۳/۶	۰/۰/۲/۹	
Yb	۲/۰/۶/۱	۲/۰/۶/۵	۳/۰/۰/۱	۳/۰/۷/۲	۴/۰/۱/۷	۱/۰/۰/۲	۱/۰/۷/۸	۴/۰/۲	۳/۰/۱/۲	۱/۰/۵/۹	۲/۰/۱/۱	
Lu	۰/۰/۴/۱	۰/۰/۴/۲	۰/۰/۵	۰/۰/۵/۳	۰/۰/۱/۱	۰/۰/۱/۳	۰/۰/۲	۰/۰/۱/۲	۰/۰/۴/۱	۰/۰/۳/۶	۰/۰/۳	



شکل ۳. (الف) رده‌بندی سنگ‌های بازالتی و دیابازهای مکران براساس نمودار مجموع آکالی-سیلیس (TAS) (Le Bas et al., 1986). (ب) نام‌گذاری و تعیین سری ماغمایی بازالت‌ها و دیابازهای مکران براساس نمودار Th در مقابل Co (Hastie et al., 2007).

HREE به نمایش می‌گذارند (شکل ۴-الف). اما با بررسی دقیق‌تر در می‌باییم این بازالت‌ها با یکدیگر متفاوت هستند. برخی از نمونه‌های بازالتی که در نمودار مجموع آکالی-سیلیس در گستره تولیتی قرار گرفته بودند، روند مشابه با دیابازهای مورد مطالعه به نمایش می‌گذارند. در این نوع بازالت‌ها غنی شدگی LREE نسبت به HREE در مقایسه با نوع دوم بازالت‌ها از شدت کمتری برخوردار است. افزون بر این، نوع اول بازالت‌ها مشابه دیابازها فاقد ناهنجاری Eu هستند. در این نوع بازالت‌ها ناهنجاری ناهنجاری Pb نیز دیده می‌شود. الگوی بهنجار شده N-MORB این بازالت‌ها نمایانگر غنی شدگی آنها نسبت به LILE و تهی شدگی نسبت به Sm, Rb و Nb است. از طرف دیگر، نمونه‌های بازالتی که در نمودار مجموع آکالی-سیلیس دارای ترکیب آندزیت- بازالت، آندزیت و داسیت هستند، الگوی LREE, HREE نسبت به ناهنجاری‌های اندک متفاوتی را به نمایش می‌گذارند. در این نوع بازالت‌ها غنی شدگی بیشتری از LREE نسبت به HREE دیده می‌شود. الگوی بهنجار شده N-MORB این نوع بازالت‌ها غنی شدگی نسبت به LILE و تهی شدگی نسبت

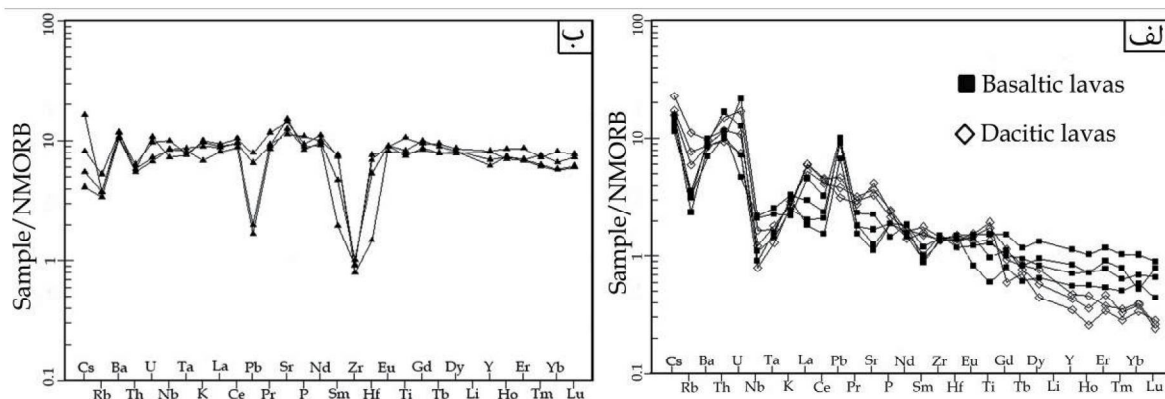
برای بررسی تغییرات عناصر نادر خاکی و عناصر دیاباز از نمودارهای بهنجار شده با میانگین بازالت‌های عادی Sun and Mc (N-MORB) پشتهدی میان اقیانوسی (¹) استفاده شده است (شکل ۴-الف و ب). الگوی عناصر دیاباز بهنجار شده با میانگین N-MORB در دیابازها به صورت مسطح بوده و روند افزایشی نامحسوسی از LREE به سمت HREE به نمایش می‌گذارد (شکل ۴-ب). نبود ناهنجاری Eu در دیابازها نمایانگر نقش اندک پلازیوکلاز در تبلور این سنگ‌ها است. دیابازهای مکران نسبت به عناصر سنگ دوست یون بزرگ (²) مانند Cs, Sr و Ba و نسبت به عناصر ناشان داده و ناهنجاری منفی Zr و Nb به نمایش می‌گذارند. همچنین ناهنجاری منفی Pb و ناهنجاری مثبت Sr و Ti در دیابازهای مکران آشکار است. این الگونشان می‌دهد دیابازهای مورد مطالعه نسبت به عناصر دارای قدرت میدان بالا (³) (HFSE) فاقد تغییرات محسوسی هستند (شکل ۴-ب). غنی شدگی عناصر LILE مانند U, Ba و Nb نسبت به عناصر HFSE در دیابازهای موردمطالعه نشان می‌دهد افزون بر سازندگان گوشته بالابی، مواد پوسته‌ای نیز در ترکیب آنها تاثیرگذار بوده‌اند.

بررسی الگوی عناصر نادر خاکی بهنجار شده با میانگین N-MORB در گذارهای بازالتی شمال مکران نشان می‌دهد این نوع بازالت‌ها غنی شدگی LREE نسبت به

1. Normal Mid-Oceanic Ridge Basalt (N-MORB)
2. Light Rare Earth Elements
3. Heavy Rare Earth Elements
4. Large-Ion Lithophile Elements (LILE)
5. High Field Strength Elements (HFSE)

بازالتها فاقد ناهنجاری مثبت Pb و دارای ناهنجاری منفی Sr هستند.

به Nb و Ta، Ho به نمایش می‌گذارند، ضمن اینکه در یک نمونه ناهنجاری منفی Eu دیده می‌شود. همچنین این نوع



شکل ۴. (الف) الگوی چند عنصری بهنجار شده با میانگین بازالت‌های عادی پشت‌های میان‌اقیانوسی در بازالت‌های مکران، (ب) الگوی چند عنصری بهنجار شده با میانگین بازالت‌های عادی پشت‌های دیاباز مکران. هر دو الگو براساس (Sun and Mc Donough, 1989) تهیه شده است

مطالعه که دارای ترکیب کالک‌آکالان هستند، در گستره محیط‌های مرتبط با فرورانش جانمایی شده‌اند. در این نمودار، نسبت Th/Yb شاخص بسیار مناسبی برای تمایز نمونه‌های مرتبط با پهنه‌های فرورانش از سایر پهنه‌ها است. به طوری که افزایش این نسبت سبب قرارگیری نمونه‌ها در مکانی بالاتر از روند گوشت‌های شده و نمایانگر اضافه شدن فاز سیال حاصل از ورقه فرورانشی به مagmaهای ایجاد شده در یک منطقه همگرا است.

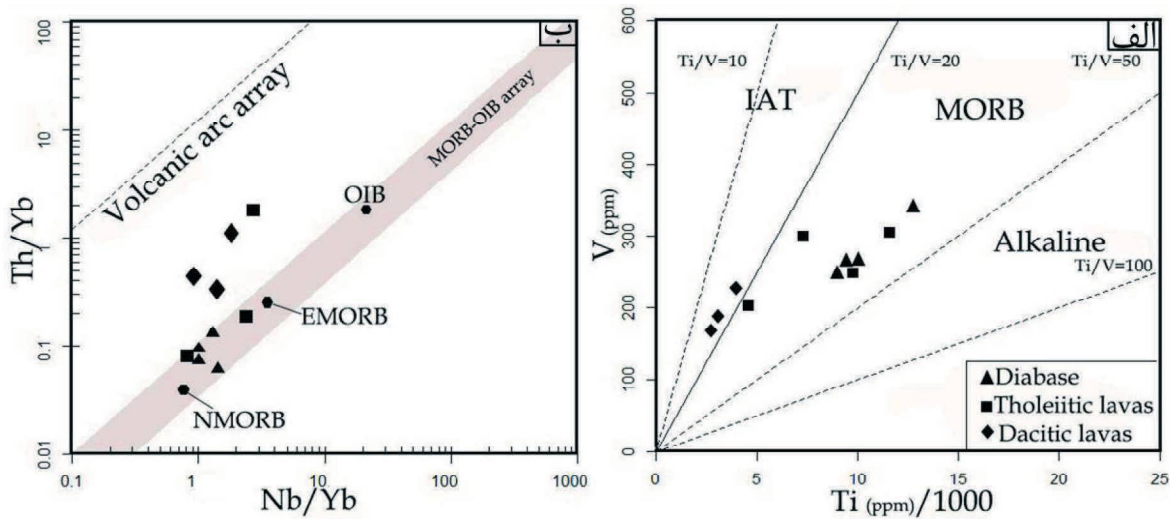
همان‌طور که در نمودارهای شکل ۵ نیز نشان داده شد، دو نوع گدازه‌های بازالتی متفاوت همراه با افیولیت شمال مکران شناسایی شد. ویژگی‌های زمین‌شیمیایی این دو نوع گدازه نشان‌دهنده دو نوع محیط زمین‌ساختی متفاوت و نمایانگر دور خداد مagmaی در این منطقه است. ضمن اینکه بررسی نهشته‌های رسوبی پوشاننده یا همراه با این دو نوع گدازه که به‌وسیله Dolati (2010) براساس مجموعه‌های فسیلی آنها تعیین سن شده، نشان می‌دهد گدازه‌های مورد مطالعه در دو زمان متفاوت تشکیل شده‌اند. بنابراین دو رخداد magmaی در دو رژیم زمین‌ساختی متفاوت در منطقه مورد مطالعه به وجود پیوسته است.

## محیط زمین‌ساختی دیابازها و بازالت‌ها

برای تعیین محیط زمین‌ساختی دیابازها و بازالت‌های مورد مطالعه از نمودارهای جداگانه محیط‌های زمین‌ساختی استفاده شده است. Shervais (1982) با مطالعه رفتار عنصر Ti و V در پشت‌های میان‌اقیانوسی و محیط‌های فرورانش دریافت که مقایسه فراوانی این دو عنصر به عنوان عامل موثر جداگانه بازالت‌ها در رژیم‌های مختلف زمین‌ساختی، می‌تواند در تشخیص جایگاه تکتونوماگمایی مجموعه‌های افیولیتی مهم باشد. وی براین باور است ضریب جدایش V بهین مذاب و جامد با تغییر فوگاسیته اکسیژن تغییر می‌کند؛ به طوری که افزایش این ضریب با افزایش فوگاسیته اکسیژن دلالت بر تاثیر ورقه فرورانشی بر روی ترکیب بازالت‌ها دارد (Shervais, 1982). همان‌طور که در نمودار شکل ۵ نیز نشان داده شده است، دیابازها و گدازه‌های بازالتی تولئیتی مورد مطالعه که دارای غلظت‌های بالاتری از Ti و V هستند، در گستره MORB<sup>۱</sup> قرار می‌گیرند. از طرفی بازالت‌های که دارای ترکیب بازالتی تا داسیتی بوده و دارای غلظت‌های پایینی از Ti و V هستند، در گستره IAT<sup>۲</sup> واقع شده‌اند.

در نمودار Th/Yb در مقابل Nb/Yb (Pearce, 2008) دیابازها و نمونه‌های بازالت تولئیتی در گستره NMORB<sup>۳</sup> و EMORB<sup>۴</sup> قرار می‌گیرند. اما تعدادی از بازالت‌های مورد

1. Mid-Oceanic Ridge Basalt (MORB)
2. Island Arc Tholeiite (IAT)
3. Normal Mid-Oceanic Ridge Basalt (NMORB)
4. Enriched Mid-Oceanic Ridge Basalts(EMORB)



شکل ۵. جایگاه زمین‌ساختی دیابازها و بازالت‌های مکران، الف) بر اساس نمودار عناصر  $\text{Th}/\text{Yb}$  در مقابل  $\text{Nb}/\text{Yb}$  (Shervais, 1982)، ب) بر اساس نمودار  $\text{V}$  در مقابل  $\text{Ti}/\text{V}=1000$  (Pearce, 2008). در هر دو نمودار دیابازها و بازالت‌های تولثیتی در گستره MORB و نمونه‌های بازالتی تا داسیتی در قلمروی بالاتر از روند گوشتهدی یعنی در گستره مرتبط با پهنه‌های فروزانش جانمایی شده‌اند

سنگی زیر این نهشته‌های رسوبی قدیمی‌تر از کرتاسه پسین هستند؛ از این‌رو دیابازها و گدازه‌های تولثیتی مکران شمالی قبل از کرتاسه پسین شکل می‌گیرد. غنی‌شدگی دیابازها و این نوع گدازه‌ها نسبت به LREE نشان‌دهنده تاثیر قابل توجه سنگ‌کرده قاره‌ای در ماقماهی به وجود آورنده‌ی آنهاست و مقادیر پایین La/Yb و به نسبت بالای U/Th نمایانگر نبود تاثیر ترکیبات فروزانش در مذاب پیدا‌ورنده‌ی این سنگ‌ها است. بنابراین به نظر می‌رسد این سنگ‌ها در نتیجه بازشدگی سنگ‌کرده قاره‌ای و پس از نازک شدگی آن شکل می‌گیرد. این رخداد ماقماهی در یک محیط کششی بر روی لبه جنوبی اوراسیا به وقوع پیوسته است. در نتیجه بازشدگی و نازک شدگی سنگ‌کرده قاره‌ای، گوشه‌های به سمت بالا حرکت کرده و در نتیجه کاهش فشار، ذوب صورت می‌گیرد؛ مواد مذاب به سمت بالا حرکت کرده و توده‌های بزرگی را به وجود آورده‌اند که منجر به شکل‌گیری افیولیت شمال مکران در کرتاسه پیشین شده است. این رخداد ماقماهی سبب شده تا بازالت‌های تولثیتی به طور پیوسته بر روی دیابازها قرار گیرند. گروه دوم گدازه‌های بازالتی دارای ترکیب بازالت، آندزیت و داسیت هستند. نهشته‌های رسوبی همراه با این نوع گدازه‌ها سنگ‌آهک‌های نربیتیک و کم‌عمق کرتاسه پسین هستند (Dolati, 2010). ناپیوستگی نهشته‌های کرتاسه پسین نشان می‌دهد در این زمان شرایط محیط کم‌ژرفا

دسته اول گدازه‌های بازالتی با ویژگی‌های مشابه با دیابازها هستند که به همراه آنها بخش بالای پوسته اقیانوسی در افیولیت شمال مکران را تشکیل داده‌اند. مرز بالای دیابازها با گدازه‌های پوشاننده آنها در بسیاری از مناطق قابل شناسابی است، ضمن اینکه در بخش‌های زیرین، دیابازها گابروهای ایزوتروب را می‌پوشانند. البته در برخی نقاط، دایک‌های دیابازی بر روی گابروها قرار گرفته و خود به وسیله جریان‌های بازالتی پوشانده می‌شوند. این‌گونه مرزهای تماس بدون تغییر به همراه بروزنزدهای گستره گدازه‌های بالشی و غیربالشی نمایانگر یک فعالیت ماقماهی پیوسته در یک مرکز گسترشی است که توانسته یک توالی به نسبت کامل افیولیتی را در شمال مکران پیدید آورد. ویژگی‌های زمین‌شیمیایی این نوع بازالت‌ها همپوشانی نزدیکی با دیابازها داشته و نمودار الگوی چند عنصری بهنجار شده با میانگین N-MORB آنها دارای روند خطی و مشابه یکدیگر است. نتایج تجزیه شیمیایی این نوع گدازه‌ها و دیابازها، نمایانگر ویژگی‌های ماقماهیسم تولثیتی بوده و در یک محیط MORB تشکیل شده‌اند. ضمن اینکه ویژگی‌های زمین‌شیمیایی مشابه، نشان‌دهنده منشاء مشترک مذاب به وجود آورنده‌ی آنها است. نهشته‌های پلاژیک و همی‌پلاژیک پوشاننده این نوع گدازه‌ها نمایانگر محیط دریایی به نسبت ژرف بوده و به وسیله Dolati (2010) بارومیت تعیین سن شده‌اند. بنابراین مجموعه واحدهای

حاکی از نقش مهم راندگی‌ها در هندسه فعلی آن دارد. دیابازها و جریان‌های بازالتی همراه با این مجموعه افیولیتی بیشترین بروزدرا در شرق منطقه دارند. مطالعات سنگ‌نگاری نشان می‌دهند این سنگ‌هاداری بافت چیره‌افیتیک و ساب‌افیتیک، کانی‌های پلازیوکلаз، کلینوپیروکسن، کانی‌های اوپک (مگنتیت و ایلمینیت) به همراه محصولات دگرسانی و حفره‌های پرشده به‌وسیله کلسیت و زئولیت هستند. داده‌های زمین‌شیمیایی نشان دهنده دو نوع ترکیب برای دیابازها و گدازهای بازالتی همراه با افیولیت شمال مکران هستند. گدازهای بازالتی با ترکیب تولئیتی و دیابازها با خصوصیات MORB، به عنوان بخش بالایی توالی پوسته‌ای افیولیت شمال مکران هستند که در یک محیط کششی و در کرتاسه پیشین تشکیل شده‌اند. این نوع گدازهای هیچ‌گونه نشانه نشان دهنده محیط فروزانش در خود ثبت و ضبط نکرده‌اند. نوع دوم گدازهای بازالتی، آندزیتی و داسیتی با ترکیب کالک‌آلکالن هستند که ویژگی‌های مناطق فروزانش را به نمایش گذاشته و در نتیجه آغاز فروزانش در این منطقه تشکیل شده‌اند. نهشته‌های رسوبی همراه با این نوع گدازهای ویژگی‌های شکل‌گیری در یک محیط دریابی کم‌عمق را به نمایش گذاشته و سن کرتاسه پسین تا ائوسن دارند.

## منابع

- Aghanabati, A., Mahdavi, M. A. and Arshadi, S., 1987. Geological map of Espakeh, scale 1:100000. Geological Survey of Iran.
- Akizawa, N., Arai, S. and Tamura, A., 2012. Behavior of MORB magmas at uppermost mantle beneath a fast-spreading axis: an example from Wadi Fizh of the northern Oman ophiolite. Contributions to Mineralogy and Petrology, 164, 601–625.
- Almalki, K.A., Betts, P.G. and Ailleres, L., 2016. Incipient seafloor spreading segments: Insights from the Red Sea. Geophysical Research Letters, 43, 2709–2715.
- Arshadi, S., Mahdavi, M.A. and Eftekhar-Nezhad, J., 1987. Geological map of Fannuj, scale 1:100000. Geological Survey of Iran.

حاکم بوده و در نتیجه آن فرسایش سنگ‌های آذرین در منطقه رخ داده است. وجود درشت‌بلورهای کلینوپیروکسن در این سنگ‌ها (در مقایسه با نوع قبلی) ممکن است به دلیل فشار بالا در مagma به وجود آورنده آنها باشد. این گدازهای دارای ناهنجاری مثبت  $\text{Sr}$  بوده و در نمودار  $\text{Th/Yb}$  در مقابل  $\text{Nb/Th}$  (Pearce, 2008) آتشفشانی قرار می‌گیرد. نسبت بالای  $\text{Pb/Ce}$ ، غنی‌شدگی در LILE و  $\text{Ta}$ ، ناهنجاری منفی  $\text{Nb}$  و  $\text{Ta}$  و مقدار تمکز اندک  $\text{TiO}_2$  نمایانگر تاثیر مثبت ورقه فروزانشی در ترکیب گدازهای این رخداد magma است (Noll et al., 1996). ضمن اینکه ویژگی‌های کالک‌آلکالن این نوع گدازهای و غلظت بالای  $\text{Si}$  آنها تداعی‌کننده magma است کالک‌آلکالن است که در بالای یک منطقه فروزانش تشکیل می‌شوند (Grove and Kinzler, 1986). تغییر ویژگی‌های زمین‌شیمیایی این نوع گدازهای و تغییر در نوع نهشته‌های همراه حاکی از تغییر محیط زمین‌ساختی شکل‌گیری آنها نسبت به گدازهای تولئیتی و دیابازهای مورد مطالعه دارد. این تغییرات می‌تواند به دلیل آغاز فروزانش به سمت شمال سنگ‌کره اقیانوسی عمان به زیر اوراسیا باشد که به باور بیشتر پژوهشگران در کرتاسه پسین آغاز شده است (Babaei et al., 2001; Berberian and King, 1981) فروزانش منجر به تغییر ترکیب گدازهای بازالتی مورد مطالعه از تولئیتی به سمت کالک‌آلکالن شده است.

## نتیجه‌گیری

افیولیت شمال مکران بخشی از برجای مانده‌های سنگ‌کره اقیانوسی است که در نتیجه باز شدن یک حوضه کششی بین دو بلوک قاره‌ای و گسترش آن به یک باریکه اقیانوسی درون قاره‌ای به عنوان شاخه‌ای از ابراقیانوس نوتوتیس تشکیل شده است. خرده قاره ایران مرکزی (بلوک لوت) در سمت شمال-شمال شرق و خرده قاره با جکان-دورکان، در جنوب-جنوب‌غرب این باریکه اقیانوسی قرار داشته‌اند. نحوه پراکندگی واحدهای سنگی، ویژگی‌های هندسی ساختارها، ساختارهای اولیه magma و روند عمومی دایکها نمایانگر راستای کشش NNE-SSW در حین شکل‌گیری و تکامل این باریکه اقیانوسی است. ضمن اینکه تکرار واحدهای سنگی این مجموعه افیولیتی

- Babaie, H.A., Ghazi, A.M., Babaei, A., La Tour, T.E. and Hassanipak, A.A., 2001. Geochemistry of arc volcanic rocks of the Zagros Crush Zone, Neyriz, Iran. *Journal of Asian Earth Sciences*, 19, 61–76.
- Bagci, U., Parlak, O. and Hock, V., 2008. Geochemistry and tectonic environment of divers' magma generations forming the crustal units of the Kizildag ophiolite, southern Turkey. *Turkish Journal of Earth Sciences*, 17, 43–47.
- Berberian, M. and King, G.C.P., 1981. Towards a paleo-geography and tectonic evolution of Iran-Reply: *Canadian Journal of Earth Sciences*, 18, 1764–1766.
- Cawood, P.A., Kröner, A., Collins, W.J., Kusky, T.M., Mooney, W.D. and Windley, B.F., 2009. Accretionary orogens through Earth history. In: Cawood PA, Kröner A (eds) *Earth accretionary systems in space and time*. *Journal of the Geological Society of London*, 318, 1–36.
- DeMets, C., Gordon, R.G. and Argus, D.F., 2010. Geologically current plate motions. *Geophysical Journal International*, 181, 1, 1–80.
- Dewey, J.F. and Bird, J.M., 1971. Origin and emplacement of ophiolite Suite-Appalachian ophiolites in Newfoundland. *Journal of Geophysical Research*, 76, 3179.
- Dilek, Y. and Furnes, H., 2014. Ophiolites and their origins. *Elements*, 10, 93–100.
- Dolati, A., 2010. Stratigraphy, structural geology and low-temperature thermochronology across the Makran accretionary wedge in Iran: [Ph.D. thesis]. Swiss Institute of Technology, 370.
- Donnelly, K.E., Goldstein, S.L., Langmuir, C.H. and Spiegelman, M., 2004. Origin of enriched ocean ridge basalts and implications for mantle dynamics. *Earth and Planetary Science Letters*, 226, 347–366.
- Eftekhar-Nezhad, J., Arshadi, S., Mahdavi, M.A., Morgan, K.H., McCall, G.J.H. and Huber, H., 1979. Fannuj Quadrangle Map 1:250'000. Ministry of Mines and Metal, Geological Survey of Iran.
- Farhoudi, G. and Karig, D.E., 1977. Makran of Iran and Pakistan as an active arc system. *Geology*, 5, 664–668.
- Grove, T.L. and Kinzler, R.J., 1986. Petrogenesis of andesites. *Annual Review of Earth and Planetary Sciences*, 14, 417–454.
- Haghipour, N., Burg, J.P., Kober, F., Zeilinger, G., Ivy-Ochs, S., Kubik, P.W. and Faridi, M., 2012. Rate of crustal shortening and non-Coulomb behavior of an active accretionary wedge: The folded fluvial terraces in Makran (SE, Iran). *Earth and Planetary Science Letters*, 355, 187–198.
- Hastie, A.R., Keer, A.C., Pearce, J.A. and Mitchell, S.F., 2007. Classification of altered volcanic island arc rocks using immobile trace elements: development of the Th-Co discrimination. *Journal of Petrology*, 48, 2341–2357.
- Hunziker, D., Burg, J.P., Moulas, E., Reussner, E. and Omrani, J., 2017. Formation and preservation of fresh lawsonite: Geothermobarometry of the North Makran Blueschists, southeast Iran. *Metamorphic Geology*, 7, 1–25.
- Le Bas, M.J., Lemaitre, R.W., Streckeisen, A. and Zanettin, B., 1986. A chemical classification of volcanic-rocks based on the total alkali silica diagram. *Journal of Petrology*, 27, 3, 745–750.
- McCall, G.J.H. and Kidd, R.G.W., 1982. The Makran, southeastern Iran: the anatomy of a convergent plate margin active from Cretaceous to present. In: Jeremy, K. L. (ed.) *Trench-Fore-arc geology; sedimentation and tectonics on modern and ancient active plate margins*. Conference, London, United Kingdom, Geological Society of London, 387–397.

- McCall, G.J.H., Eftekhar-Nezhad, J., Samimi-Namin, M. and Arshadi, S., 1985. Explanatory text of the Fannuj quadrangle map 1:250,000. In: McCall, G.J.H. (Ed.). Ministry of Mines and Metals, Geological Survey of Iran.
- McCall, G.J.H., 1997. The geotectonic history of the Makran and adjacent areas of southern Iran. *Journal of Asian Earth Sciences*, 15, 517–531.
- MacLeod, C.J., Lissenberg, C.J. and Bibby, L.E., 2013. "Moist MORB" axial magmatism in the Oman ophiolite: The evidence against a mid-ocean ridge origin. *Geology*, 41, 459–462.
- Moghadam, H.S. and Stern, R.J., 2011. Late Cretaceous fore-arc ophiolites of Iran. *Island Arc*, 20, 1–4.
- Morgan, K.H., McCall, G.J.H. and Huber, H., 1987(a). Geological map of Ramak, scale 1:100000. Geological Survey of Iran.
- Morgan, K.H., McCall, G.J.H. and Huber, H., 1987(b). Geological map of Remeshk, scale 1:100000. Geological Survey of Iran.
- Moslempour, M.E., Khalatbari Jafari, M., Morishita, T. and Biabangard, H., 2017. Petrogenesis of mantle peridotites from the South of Jazmourian, Makran accretionary prism, Iran. *Iranian Journal of Earth Sciences*, 9, 1–16.
- Nicolas, A., 1989. Structures of Ophiolites and Dynamics of Oceanic Lithosphere. Dordrecht, Netherlands, Kluwer Academic Publishers, 750.
- Noll, P.D., Newsom, H.E., Leeman, W.P. and Ryan, J.G., 1996. The role of hydrothermal fluids in the production of subduction zone magmas: Evidence from siderophile and chalcophile trace elements and boron. *Geochimica et Cosmochimica Acta*, 60, 587–611.
- Osozawa, S., Shinjo, R., Lo, C.H., Jahn, B.M., Hoang, N., Sasaki, M., Ishikawa, K., Kano, H., Hoshi, H., Xenophontos, C. and Wakabayashi, J., 2012. Geochemistry and geochronology of the Troodos ophiolite: An SSZ ophiolite generated by subduction initiation and an extended episode of ridge subduction? *Lithosphere*, 4, 497–510.
- Pearce, J. A., 2008. Geochemical fingerprinting of oceanic basalts with applications to ophiolite classification and the search for Archean oceanic crust. *Lithos*, 100, 14–48.
- Saccani, E., Nicolae, L. and Tassinari, R., 2001. Tectono-magmatic setting of the Jurassic ophiolites from the south Apuseni Mountains (Romania): Petrological and geochemical evidence. *Ophioliti*, 26, 1, 9–22.
- Sengör, A.M.C., 1990. A new model for the late Paleozoic Mesozoic tectonic evolution of Iran and implications for Oman. *Geology and Tectonics of the Oman Region*, 49, 797–831.
- Shervais, J.W., 1982. Ti-V plots and the petrogenesis of modern and ophiolitic lavas. *Earth and Planetary Science Letters*, 59, 101–118.
- Slovenec, D., Lugovic, B., Meyer, H.P. and Garapic, G.S., 2011. A tectono-magmatic correlation of basaltic rocks from ophiolite mélanges at the north-eastern tip of the Sava-Vardar suture zone (northern Croatia) constrained by geochemistry and petrology. *Ophioliti*, 36, 77–100.
- Stöcklin, J., 1968. Structural history and tectonics of Iran: A review. *The American Association of Petroleum Geologists Bulletin*, 52, 1229–1258.
- Sun, S.S. and McDonough, W.F., 1989. Chemical and isotopic systematics of oceanic basalts: implications for mantle composition and processes. *Geological Society, London, Special Publications*, 42, 1, 313–345.
- Whitney, D.L. and Evans, B.W., 2010. Abbreviations for names of rock-forming minerals. *American Mineralogist*, 95, 185–187.